

КОНВЕКТИВНАЯ УСТОЙЧИВОСТЬ ВЕРТИКАЛЬНОГО СЛОЯ  
НЕНЬЮТОНОВСКОЙ ЖИДКОСТИ

*Г. З. Гершунин, Е. М. Жуховицкий, Т. П. Любимова*

(Пермь)

Рассматривается конвективная устойчивость неньютоновской (нелинейно-вязкой) жидкости в плоском вертикальном канале. Для случая кусочно-линейной и степенной реологических характеристик найдено решение нелинейной краевой задачи о плоско-параллельной стационарной конвекции. Обсуждается вопрос об устойчивости равновесия и стационарных движений.

1. В работах [1, 2] экспериментально исследовалось возникновение конвекции в подогреваемом снизу горизонтальном слое жидкости. В [1] предпринята попытка с помощью энергетического метода оценить критическое число Рэлея для степенных жидкостей. Эту попытку следует считать неудачной. Если начальная вязкость равна нулю или бесконечности, как это имеет место в степенной модели, то конечное критическое число Рэлея, определяющее границу устойчивости относительно малых возмущений, отсутствует: равновесие по отношению к малым возмущениям либо устойчиво при всех числах Рэлея (псевдопластики), либо неустойчиво при сколь угодно малом числе Рэлея (дилатантные жидкости). Для суждения об устойчивости следует рассматривать конечно-амплитудные возмущения. Как отмечено в [3], энергетический метод в работе [1] применен некорректно.

В случае модели с конечной начальной вязкостью понятие критического числа Рэлея оправдано. Измерение критического градиента температуры в этом случае, как показано в [2], дает достаточно точный метод определения начальной вязкости.

Пусть плоский бесконечный слой неньютоновской жидкости, ограниченный вертикальными плоскостями  $x = \pm h$ , подогревается снизу. Рассмотрим стационарное плоско-параллельное конвективное движение, при котором отлична от нуля только вертикальная составляющая скорости. В этом случае (ось  $z$  направлена вертикально вверх)

$$(1.1) \quad v_x = v_y = 0, \quad v_z = v(x)$$

а распределения температуры  $T$ , напряжения  $\tau$  и давления  $p$  имеют вид

$$(1.2) \quad T = -Az + \theta(x), \quad \tau = \tau(x), \quad p = p(z)$$

Здесь  $A$  — постоянный вертикальный градиент температуры, соответствующий механическому равновесию.

Из уравнений конвекции, записанных в приближениях Буссинеска, получаются уравнения для функций  $v$ ,  $\theta$ ,  $\tau$ ,  $p$

$$(1.3) \quad \frac{1}{\rho} \tau' + g\beta\theta = -\frac{1}{\rho} \frac{dp}{dz} + g\beta Az = C$$

$$\chi\theta'' + Av = 0$$

Здесь  $\rho$  — средняя плотность,  $g$  — ускорение силы тяжести,  $\beta$  и  $\chi$  — коэффициенты теплового расширения и температуропроводности,  $C$  — постоянная разделения переменных. Штрих означает дифференцирование по  $x$ . К уравнениям (1.3) следует добавить реологическое соотношение, связывающее напряжение сдвига с градиентом скорости

$$(1.4) \quad \tau = \tau(v')$$

На границах канала скорость обращается в нуль, и поддерживается линейное по вертикали распределение температуры; кроме того, предполагается выполненным условие замкнутости конвективного течения, означающее равенство нулю расхода через любое сечение. Таким образом, имеем

$$(1.5) \quad v(\pm h) = \theta(\pm h) = 0, \quad \int_{-h}^h v dx = 0$$

Далее рассматривается стационарное движение, соответствующее нижнему уровню неустойчивости равновесия. В этом движении профили скорости  $v$  и температуры  $\theta$  являются нечетными функциями относительно середины слоя  $x = 0$ ; постоянная разделения  $C = 0$ , условие замкнутости выполнено.

Сформулированная задача имеет тривиальное решение ( $v = \theta = \tau = 0$ ), соответствующее равновесию (устойчивому или неустойчивому в зависимости от соотношения между параметрами) подогреваемой снизу жидкости. При определенных условиях возможны нетривиальные решения, которые рассматриваются в дальнейшем.

В случае ньютоновской жидкости, когда связь (1.4) является линейной, нетривиальные решения существуют лишь при определенных значениях градиента температуры (числа Рэлея), образующих дискретный спектр (см. [4]). Эти характеристические значения градиента являются в то же время критическими с точки зрения устойчивости равновесия. Амплитуда характеристических движений оказывается неопределенной. В обсуждаемом случае неニュтоновской жидкости зависимость напряжения от градиента скорости (1.4) нелинейна. Это приводит к качественным различиям. Стационарные движения существуют не в изолированных точках спектра, а занимают некоторый интервал значений градиента температуры (числа Рэлея). Амплитуда движений в силу нелинейности краевой задачи оказывается определенной.

2. Рассмотрим жидкость с кусочно-линейной реологической характеристикой (фиг. 1). Зависимость  $\tau(v')$  имеет вид

$$(2.1) \quad \tau = \begin{cases} \mu_1 v', & -\tau_0 \leq \tau \leq \tau_0 \\ \tau_0 + \mu_2(v' - v'_0), & \tau \geq \tau_0 \\ -\tau_0 + \mu_2(v' + v'_0), & \tau \leq -\tau_0 \end{cases}$$

Принятая характеристика содержит три независимых параметра — начальную и предельную вязкости  $\mu_1$  и  $\mu_2$  и предельное касательное напряжение



Фиг. 1

жение  $\tau_0$  ( $v'_0 = \tau_0/\mu_1$ ). Постоянная на каждом из участков вязкость скачком меняется при  $\tau = \pm \tau_0$ . Кусочно-линейная характеристика может рассматриваться как аппроксимация для описания нелинейно-вязких жидкостей с конечными значениями начальной и предельной вязкости. Из (2.1) можно получить зависимости, соответствующие псевдопластическому ( $\mu_1 > \mu_2$ ) и дилатантному ( $\mu_1 < \mu_2$ ) поведению (кривые 1 и 2 на фиг. 1). В пределах получаются жидкость Бингама ( $\mu_1 = \infty$ , кривая 3) и предельный случай дилатантной жидкости с нулевой начальной вязкостью ( $\mu_1 = 0$ , кривая 4). Ньютоновской жидкости соответствует  $\mu_1 = \mu_2$ .

Имея в виду характеристику (2.1), запишем уравнения плоскопараллельной конвекции в безразмерной форме. Выберем единицы  $h$  — расстояния,  $\chi/h$  — скорости,  $Ah$  — температуры,  $\mu_2\chi/h^2$  — напряжения. Уравнения (1.3), реологическое соотношение (2.1) и граничные условия (1.5) записутся тогда в виде

$$(2.2) \quad \begin{aligned} \tau' + R\theta = 0, \quad \theta'' + v = 0 \\ \tau = \begin{cases} \mu v', & |\tau| \leq B \\ B(1 - 1/\mu) \operatorname{sign} v' + v', & |\tau| \geq B \end{cases} \\ v(\pm 1) = \theta(\pm 1) = 0, \quad \int_{-1}^1 v dx = 0 \end{aligned}$$

Краевая задача (2.2) содержит три безразмерных параметра — число Рэлея  $R$ , определенное по вязкости  $\mu_2$ ; безразмерное предельное напряжение  $B$  и отношение вязкостей  $\mu$

$$(2.3) \quad R = \frac{\rho g \beta A h^4}{\mu_2 \chi}, \quad B = \frac{\tau_0 h^2}{\mu_2 \chi}, \quad \mu = \frac{\mu_1}{\mu_2}$$

Основное стационарное движение соответствует нечетному относительно точки  $x=0$  решению задачи (2.2). Ввиду нечетности решения достаточно рассмотреть область  $0 \leq x \leq 1$ . В этой области можно выделить среднюю зону  $a \leq x \leq b$  (индекс 0) с малым градиентом скорости и вязкостью  $\mu_1$ ; зону  $0 \leq x \leq a$  (индекс 1), в которой  $\tau > \tau_0$ , а градиент скорости положителен и по величине больше предельного, и зону  $b \leq x \leq 1$  (индекс 2) с отрицательным градиентом скорости и  $\tau < -\tau_0$  (в зонах 1 и 2 имеет место вязкое течение с вязкостью  $\mu_2$ ).

На каждом из участков можно записать общее решение уравнений (2.2). С учетом обращения в нуль скорости и температуры в точках  $x=0$  и  $x=1$  имеем

$$(2.4) \quad \begin{aligned} v_1 &= D_1 \sin rx + D_2 \operatorname{sh} rx \\ \theta_1 &= r^{-2} (D_1 \sin rx - D_2 \operatorname{sh} rx) \\ \tau_1 &= B(1 - \mu^{-1}) + r(D_1 \cos rx + D_2 \operatorname{ch} rx) \\ v_2 &= C_1 \sin r(1-x) + C_2 \operatorname{sh} r(1-x) \\ \theta_2 &= r^{-2}[C_1 \sin r(1-x) - C_2 \operatorname{sh} r(1-x)] \\ \tau_2 &= -B(1 - \mu^{-1}) - r[C_1 \cos r(1-x) + C_2 \operatorname{ch} r(1-x)] \\ v_0 &= E_1 \sin sx + E_2 \cos sx + E_3 \operatorname{sh} sx + E_4 \operatorname{ch} sx \\ \theta_0 &= s^{-2}(E_1 \sin sx + E_2 \cos sx - E_3 \operatorname{sh} sx - E_4 \operatorname{ch} sx) \\ \tau_0 &= \mu s(E_1 \cos sx - E_2 \sin sx + E_3 \operatorname{ch} sx + E_4 \operatorname{sh} sx) \end{aligned}$$

где  $r = R^{1/4}$ ,  $s = (R/\mu)^{1/4}$ .

Для нахождения восьми произвольных постоянных и неизвестных параметров  $a$  и  $b$ , определяющих положения границ вязких зон, имеем условия сшивания в точках  $a$  и  $b$  (непрерывность скорости, температуры, теплового потока и напряжения), а также условия, определяющие положение границ зон

$$(2.5) \quad \begin{aligned} v_1(a) &= v_0(a), \quad \theta_1(a) = \theta_0(a), \quad \theta_1'(a) = \theta_0'(a) \\ \tau_1(a) &= \tau_0(a), \quad \tau_0(a) = B \\ v_0(b) &= v_2(b), \quad \theta_0(b) = \theta_2(b), \quad \theta_0'(b) = \theta_2'(b) \\ \tau_0(b) &= \tau_2(b), \quad \tau_0(b) = -B \end{aligned}$$

Из анализа соотношений (2.5) следует, что все профили симметричны относительно точки  $x = 1/2$ , в частности  $a = 1 - b$ . Постоянные, входящие в (2.4), равны

$$\begin{aligned} D_1 &= \frac{B}{\mu r \delta \cos ra} [2\mu^{3/4} + (1 + \sqrt{\mu}) \operatorname{th} ra \operatorname{th} \varphi + (1 - \sqrt{\mu}) \operatorname{th} ra \operatorname{tg} \varphi] \\ D_2 &= \frac{B}{\mu r \delta \operatorname{ch} ra} [-2\mu^{3/4} + (1 + \sqrt{\mu}) \operatorname{tg} ra \operatorname{tg} \varphi + (1 - \sqrt{\mu}) \operatorname{tg} ra \operatorname{th} \varphi] \\ E_1 &= \frac{B \sin s/2}{\mu r \delta \cos \varphi} [2 \operatorname{tg} ra \operatorname{th} ra \operatorname{th} \varphi + \mu^{1/4} (1 + \sqrt{\mu}) \operatorname{tg} ra + \\ &+ \mu^{1/4} (1 - \sqrt{\mu}) \operatorname{th} ra] \\ E_3 &= \frac{B \operatorname{sh} s/2}{\mu r \delta \operatorname{ch} \varphi} [-2 \operatorname{tg} ra \operatorname{th} ra \operatorname{tg} \varphi + \mu^{1/4} (1 + \sqrt{\mu}) \operatorname{th} ra + \\ &+ \mu^{1/4} (1 - \sqrt{\mu}) \operatorname{tg} ra] \\ E_2 &= \operatorname{ctg} \frac{s}{2} E_1, \quad E_4 = -\operatorname{ctg} \frac{s}{2} E_3, \quad C_1 = D_1, \quad C_2 = D_2 \\ \delta &= (1 + \sqrt{\mu}) (\operatorname{tg} ra \operatorname{tg} \varphi + \operatorname{th} ra \operatorname{th} \varphi) + \\ &+ (1 - \sqrt{\mu}) (\operatorname{th} ra \operatorname{tg} \varphi + \operatorname{tg} ra \operatorname{th} \varphi) \\ \varphi &= s(1/2 - a) \end{aligned}$$

Соотношение, определяющее параметр  $a$  как функцию  $R$  и  $\mu$ , имеет вид

$$(2.6) \quad (1 + \sqrt{\mu})^2 (\operatorname{tg} ra \operatorname{tg} \varphi - \operatorname{th} ra \operatorname{th} \varphi) + (1 - \sqrt{\mu})^2 (\operatorname{tg} ra \operatorname{th} \varphi - \\ - \operatorname{th} ra \operatorname{tg} \varphi) + 4\mu^{1/4} \operatorname{tg} \varphi \operatorname{th} \varphi \operatorname{tg} ra \operatorname{th} ra - 4\mu^{3/4} = 0$$

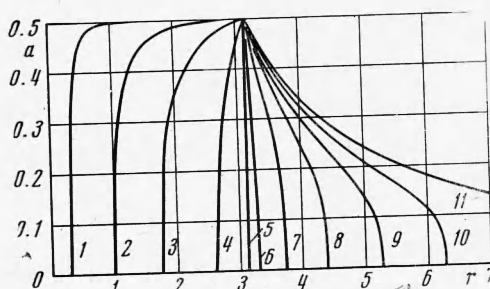
Приведем формулу для максимальной скорости потока

$$(2.7) \quad v_m = v_0 \left( \frac{1}{2} \right) = \frac{B}{\mu r \delta \cos \varphi \operatorname{ch} \varphi} [2 \operatorname{tg} ra \operatorname{th} ra (\operatorname{sh} \varphi + \sin \varphi) + \\ + \mu^{1/4} (1 + \sqrt{\mu}) (\operatorname{tg} ra \operatorname{ch} \varphi - \operatorname{th} ra \cos \varphi) + \mu^{1/4} (1 - \sqrt{\mu}) \times \\ \times (\operatorname{th} ra \operatorname{ch} \varphi - \operatorname{tg} ra \cos \varphi)]$$

3. Результаты численного решения трансцендентного уравнения (2.6) представлены на фиг. 2, где изображено семейство кривых  $a(r)$  для различных значений отношения вязкостей  $\mu$ . На фиг. 3 и 4 приведена зависимость амплитуды скорости от  $r$ . Цифры около кривых 0, 1, 2, ..., 11 соответствуют значениям  $\mu = 0, 10^{-4}, 10^{-2}, 0.1, 0.5, 1, 1.2, 2, 4, 8, 16, \infty$ .

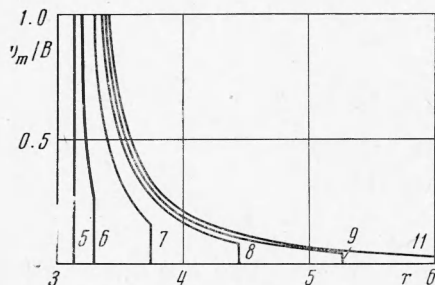
Рассмотрим псевдопластические жидкости ( $\mu = \mu_1 / \mu_2 > 1$ ). Анализ соотношений (2.6), (2.7) показывает, что в этом случае нетривиальное решение, соответствующее плоскопараллельной конвекции, существует в ограниченном промежутке чисел Рэлея  $\pi^4 < R < \mu \pi^4$ , т. е.  $\pi < r < \mu^{1/4} \pi$ .

Точка  $r = \mu^{1/4}\pi$  является критической в смысле устойчивости равновесия относительно малых возмущений. Малым возмущениям равновесия соответствуют малые  $v'$ , т. е. малые напряжения  $\tau$ . Такие возмущения развиваются так же, как в ньютоновской жидкости с коэффициентом вязкости  $\mu_1$  (начальный участок реологической кривой). Кризис равновесия относительно этих возмущений определяется условием  $\rho g \beta A h^4 / \mu_1 \chi = \pi^4$ .

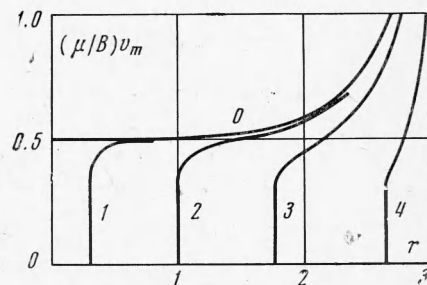


Фиг. 2

амплитуда  $v_m$  пропорциональна безразмерному предельному напряжению  $B$ . С увеличением  $r$  в области  $\pi < r < \mu^{1/4}\pi$  амплитуда  $v_m$  убывает от бесконечности до некоторого конечного значения  $B/\mu$ ; в точке  $r = \mu^{1/4}\pi$  амплитуда испытывает скачок.



Фиг. 3



Фиг. 4

Из (2.6), (2.7) можно получить асимптотические формулы для  $a$  и  $v_m$ . Вблизи нижней критической точки  $r = \pi$

$$a = \frac{1}{2} - \frac{\mu}{\pi(\mu-1)}(r-\pi) + \dots, \quad v_m = \frac{B(\mu-1)}{\pi\mu(r-\pi)} + \dots$$

Вблизи верхней критической точки  $r = \mu^{1/4}\pi$

$$a \approx \left[ \frac{6}{\pi^2(\mu-1)} \left( 1 - \frac{r}{\pi\mu^{1/4}} \right) \right]^{1/2}$$

Найденное конечно-амплитудное стационарное решение является неустойчивым. При  $r < \mu^{1/4}\pi$  равновесие устойчиво относительно малых возмущений. Если внести в равновесие возмущение конечной амплитуды, выходящее достаточно далеко за пределы начального участка реологической кривой, то в течении образуются слои с меньшей вязкостью  $\mu_2$ . Это означает понижение эффективной вязкости системы, в результате чего возмущение достаточно большой амплитуды окажется нарастающим. Если

амплитуда меньше  $v_m$ , определяемого формулой (2.7), то возмущение затухает; если амплитуда превышает  $v_m$ , то такое возмущение неограниченно нарастает.

Итак, в случае  $\mu > 1$  равновесие устойчиво по отношению к малым возмущениям при  $r < \mu^{1/4}\pi$  и неустойчиво при  $r > \mu^{1/4}\pi$ . В области  $\pi < r < \mu^{1/4}\pi$  равновесие неустойчиво относительно конечных возмущений, амплитуда которых больше  $v_m$  («жесткое» возбуждение). При  $r < \pi$  равновесие устойчиво по отношению к возмущениям любой амплитуды.

При  $\mu > 1$  устойчивые стационарные движения конечной амплитуды отсутствуют. Это связано со спецификой геометрии решаемой задачи — рассматриваются плоскопараллельные движения в бесконечном слое. В этом случае нелинейные конвективные члены в уравнениях движения и теплопроводности ( $v\nabla$ )  $v$  и  $v\nabla\theta$  тождественно исчезают, а нелинейность, связанная с реологической кривой  $\tau(v')$ , имеет при  $\mu > 1$  дестабилизирующий характер.

При увеличении  $\mu$  число Рэлея, определяющее верхнюю критическую точку, возрастает и стремится к бесконечности при  $\mu \rightarrow \infty$ . Этот предельный случай соответствует жидкости Бинггама ( $\mu_1 = \infty$ ,  $\mu_2$  конечно). Равновесие при всех  $R$  устойчиво относительно малых возмущений. Возможно лишь жесткое возбуждение конвекции при  $R > \pi^4$ ; критическая амплитуда определяется значением

$$v_m = \frac{24B}{r^3(1-2a)^2} \frac{1}{3(\operatorname{tg} ra + \operatorname{th} ra) + r(1-2a)}$$

Граница вязкой и пластической зон течения  $a$  находится из уравнения

$$r(1-2a)(\operatorname{tg} ra - \operatorname{th} ra) - 4 = 0$$

Эти формулы получаются из (2.6), (2.7) в пределе  $\mu \rightarrow \infty$  и совпадают с полученными ранее [5].

4. Рассмотрим случай дилатантной жидкости ( $\mu = \mu_1/\mu_2 < 1$ ). Граница зон  $a$  и стационарная амплитуда  $v_m$  в зависимости от числа Рэлея представлены на фиг. 2 и 4. Как и в псевдопластическом случае, точка  $r = \mu^{1/4}\pi$  является критической в смысле устойчивости равновесия относительно малых возмущений; при  $r > \mu^{1/4}\pi$  равновесие неустойчиво. Стационарное движение конечной амплитуды существует в промежутке  $\mu^{1/4}\pi < r < \pi$ . В точке  $r = \mu^{1/4}\pi$  скачком возникает стационарное движение с амплитудой  $v_m = B/\mu$ , и с увеличением  $r$  амплитуда  $v_m$  монотонно возрастает, стремясь к бесконечности при  $r \rightarrow \pi$ . Асимптотические формулы (3.1), (3.2) сохраняются и в случае  $\mu < 1$ .

В случае  $\mu < 1$  стационарное плоскопараллельное движение конечной амплитуды в области  $\mu^{1/4}\pi < r < \pi$  является устойчивым. Малые возмущения равновесия в этой области нарастают, и при достижении предельного напряжения в течении возникают слои с большей вязкостью. Повышение эффективной вязкости системы приводит к стабилизации возмущений и установлению стационарной амплитуды  $v_m$ . При  $r > \pi$  устойчивого стационарного плоскопараллельного движения быть не может, поскольку при таких числах Рэлея малые возмущения равновесия неограниченно возрастают даже в случае ньютонаской жидкости с большей вязкостью  $\mu_2$ .

Случай предельной дилатантной характеристики (кривая 4 на фиг. 1) получается при  $\mu \rightarrow 0$  и  $B \rightarrow 0$  (отношение  $B/\mu$ , представляющее собой безразмерное значение предельного градиента скорости  $v_0'$ , остается конечным). Из общих формул (2.6), (2.7) получаем

$$a = \frac{1}{2}, \quad v_m = \frac{B}{2\mu r} \left( \operatorname{tg} \frac{r}{2} + \operatorname{th} \frac{r}{2} \right)$$

В этом предельном случае равновесие неустойчиво при сколь угодно малом градиенте температуры, и устойчивое стационарное движение существует в области  $0 < r < \pi$ .

5. Рассмотрим жидкость, поведение которой соответствует степенному реологическому закону

$$(5.1) \quad \tau = k |v'|^n \operatorname{sign} v'$$

где  $n$  — показатель,  $k$  — коэффициент консистентности. Для определения стационарного плоскопараллельного движения в слое степенной жидкости следует решать задачу (1.3) — (1.5) с реологическим законом (5.1).

Выберем единицы  $h$  — расстояния,  $(\chi/h) R^{1/(n-1)}$  — скорости,  $AhR^{1/(n-1)}$  — температуры, где  $R = \rho g \beta Ah^{2n+2} / k \chi^n$  — модифицированное число Рэлея.

В безразмерных переменных задача принимает вид

$$(5.2) \quad [ |v'|^n \operatorname{sign} v' ]' + \theta = 0, \quad \theta'' + v = 0$$

$$v(\pm 1) = \theta(\pm 1) = 0, \quad \int_{-1}^1 v dx = 0$$

Эта задача не содержит числа Рэлея  $R$ ; единственным параметром, определяющим решение, служит показатель  $n$ .

Для численного решения уравнения сводились к системе четырех уравнений первого порядка. Эта система интегрировалась от точки  $x = 0$  до  $x = 1$  (имеется в виду нечетное решение). Недостающие граничные условия на левом конце определялись подбором, пока не удавалось с достаточной точностью удовлетворить граничным условиям на правом конце. При численном интегрировании использовались методы Рунге — Кутта и «предиктор-корректор». В результате находились распределения  $v(x)$  и  $\theta(x)$  для различных значений  $n$ . На профилях скорости в случае  $n < 1$  имеется характерное для псевдопластиков плато; при  $n > 1$  образуются углы возле точки  $x = 1/2$ . Эти профили близки к найденным в [6] для случая течения степенной жидкости в канале, подогреваемом сбоку.

Численное интегрирование системы (5.2) позволяет определить максимальную безразмерную скорость, зависящую от  $n$ . Расчеты приводят к эмпирической зависимости  $v_m \sim \pi^{-4/(n-1)}$ . С учетом выбранных единиц максимальная размерная скорость может быть представлена в виде

$$v_m = c \frac{\chi}{h} \left( \frac{R}{R_0} \right)^{1/(n-1)}$$

Здесь  $R_0 = \pi^4$  — критическое число Рэлея в случае ньютоновской жидкости ( $n = 1$ ), а коэффициент  $c$  — медленно меняющаяся функция  $n$ . В интервале  $1/3 \leq n \leq 2$  с достаточной точностью  $c = 0.34$ .

В случае  $n < 1$  (псевдопластики) амплитуда скорости стационарного движения  $v_m$  монотонно убывает с ростом  $R$  от бесконечности до нуля; при разных  $n$  получается семейство гипербол разных порядков (аналог кривых на фиг. 3). Отличие от случая кусочно-линейной характеристики состоит в том, что равновесие устойчиво по отношению к малым возмущениям при всех  $R$ . Это объясняется бесконечной начальной вязкостью степенного псевдопластика. При всех  $R$  имеется, однако, неустойчивость по отношению к конечным возмущениям, превышающим по величине  $v_m$ . Стационарный режим со скоростью  $v_m$ , как и в случае кусочно-линейной характеристики, неустойчив.

При  $n > 1$  (дилатантные жидкости) равновесие неустойчиво по отношению к малым возмущениям при всех  $R$ , начиная со сколь угодно малых (нулевая начальная вязкость). Стационарный плоскопараллельный ре-

жим со скоростью  $v_m$  устойчив. Скорость  $v_m$  монотонно растет от нуля по мере увеличения  $R$ ; кривые  $v_m(R)$  для  $n > 1$  представляют собой семейство парабол разного порядка (аналог кривых на фиг. 4).

Авторы благодарны Д. В. Любимову за помощь в проведении расчетов.

Поступила 6 II 1973

#### ЛИТЕРАТУРА

1. *Chi Tien, Hun Sheng Tsuei, Zu Shung Sun.* Thermal instability of a horizontal layer of non-newtonian fluid heated from below. Internat. J. Heat Mass Transfer, 1969, vol. 12, No. 9.
2. *Liang S. F., Acrivos A.* Experiments on buoyancy driven convection in non-newtonian fluid. Rheol. acta, 1970, vol. 9, No. 3.
3. *Wankat P. C.* Note on thermal instability of a horizontal layer of non-newtonian fluid heated from below. Internat. J. Heat Mass Transfer, 1970, vol. 13, No. 9.
4. Гершунин Г. З., Жуховицкий Е. М. Конвективная устойчивость несжимаемой жидкости. М., «Наука», 1972.
5. Гершунин Г. З., Жуховицкий Е. М. О конвективной устойчивости жидкости Бинггама. Докл. АН СССР, 1973, т. 208, № 1.
6. Семакин И. Г. Стационарная конвекция неильтоновской жидкости в вертикальном слое. Изв. АН СССР, МЖГ, 1972, № 4.